

ФОТОЭЛЕКТРИЧЕСКИЕ СВОЙСТВА ПЛЕНОК $a\text{-Si}$: Н И СТРУКТУР НА ИХ ОСНОВЕ В УФ ОБЛАСТИ СПЕКТРА

Атаев Ж., Васильев В. А., Волков А. С.,
Кумеков М. Е., Теруков Е. И., Шведков И. В.]

Проведены исследования фоточувствительности фотодатчиков (диодов Шоттки) $n-i-Pd$ на основе $a\text{-Si} : \text{Н}$ и его сплавов, а также фотопроводимости структур $\text{Al}-a\text{-Si} : \text{Н}-\text{Al}$ в широком спектре энергий фотонов ($1.5 \leq h\nu \leq 6.3$ эВ) при $T=300$ К. Показана возможность сдвига красной границы спектра фоточувствительности в зависимости от толщины и состава i -слоя. Исследования квантовой эффективности внутреннего фотоэффекта с учетом измеренных коэффициентом поглощения и отражения позволяют утверждать, что в $a\text{-Si} : \text{Н}$ в УФ диапазоне спектра имеет место процесс ударной ионизации носителей заряда и он носит явно выраженный пороговый характер при энергиях $\epsilon_i = 3.6$ эВ.

Полупроводниковые фотоприемники, чувствительные в ультрафиолетовом (УФ) диапазоне спектра, в основном созданы на основе барьеров Шоттки на кристаллических полупроводниках [1-6]. Однако такие фотоприемники обладают рядом недостатков, а именно сложной и дорогой технологией изготовления, низкой квантовой эффективностью в УФ диапазоне спектра из-за поверхностной рекомбинации, а также определенной красной границей фоточувствительности, определяемой шириной запрещенной зоны (E_g).

Недавно был оказано [7-9], что $p-i-n$ -структуры и структуры с барьером Шоттки [$n-i-M$ (Pd, Pt)] на основе тонких пленок аморфного гидрогенизированного кремния ($a\text{-Si} : \text{Н}$) являются эффективными фотоприемниками УФ излучения и обладают рядом преимуществ по сравнению с датчиками на кристаллах, а именно простой и дешевой технологией изготовления, неограниченными приемными площадями и высокой квантовой эффективностью в УФ диапазоне ($\eta \geq 0.6$ эл./фот.).

Далее приводятся результаты исследований фоточувствительности датчиков (диодов Шоттки) $n-i-Pd$ на основе $a\text{-Si} : \text{Н}$ в зависимости от толщины i -слоя и его состава с целью выяснения возможностей сдвига красной границы фоточувствительности в синюю область спектра. Для получения информации о высокой квантовой эффективности в УФ диапазоне спектра нами была исследована фотопроводимость (ФП) структур $\text{Al}-a\text{-Si} : \text{Н}-\text{Al}$ и показано, что увеличение фототока в УФ области обусловлено ударной ионизацией носителей заряда.

Структуры с барьером Шоттки ($n-i-Pd$) формировались на металле (Ni, Cr, Mo), напыленном на сапфировую или керамическую подложку. В качестве n^+ -слоя толщиной $d=200-300$ Å использовался $a\text{-Si} : \text{Н}$, легированный фосфором, а i -слой наносился либо из $a\text{-Si} : \text{Н}$ с $=700-3000$ Å, либо из $a\text{-Si}_{0.8}\text{C}_{0.2} : \text{Н}$ с $d=1500$ Å путем разложения газовых смесей SiH_4-Ar или $\text{SiH}_4-\text{CH}_4-\text{Ar}$ в ВЧ тлеющем разряде [8]. Полупрозрачный барьерный электрод из палладия $d=150-200$ Å наносился на i -слой термическим испарением. Конструкция диода Шоттки представлена на вставке к рис. 1. Фотосопротивление $\text{Al}-a\text{-Si} : \text{Н}-\text{Al}$ было изготовлено путем напыления на пленку нелегированного $a\text{-Si} : \text{Н}$ планарных электродов из алюминия с расстоянием между ними 10 и 200 мкм. Конструкция представлена на рис. 2, a. Фоточувствитель-

ность и ФП структур была исследована при комнатной температуре в широком спектре энергий фотонов от 1.5 до 6.3 эВ со средним падающим потоком фотонов $N = 10^{11} - 10^{12}$ фот/см².с. В качестве источников света использовались галоген-ная лампа накаливания ($h\nu = 1.5 - 3.5$ эВ) и дейтериевая лампа ($h\nu = 3 - 6.3$ эВ), которая была проградуирована люминофором. Для точного учета числа поглощенных фотонов в случае ФП измерялись также спектр отражения [$R(h\nu)$] и край оптического поглощения [$\alpha(h\nu)$].

Типичные спектральные зависимости фототока короткого замыкания (i_ϕ) для $n-i-Pd$ -структур с различной толщиной i -слоя $a\text{-Si : H}$ приведены на

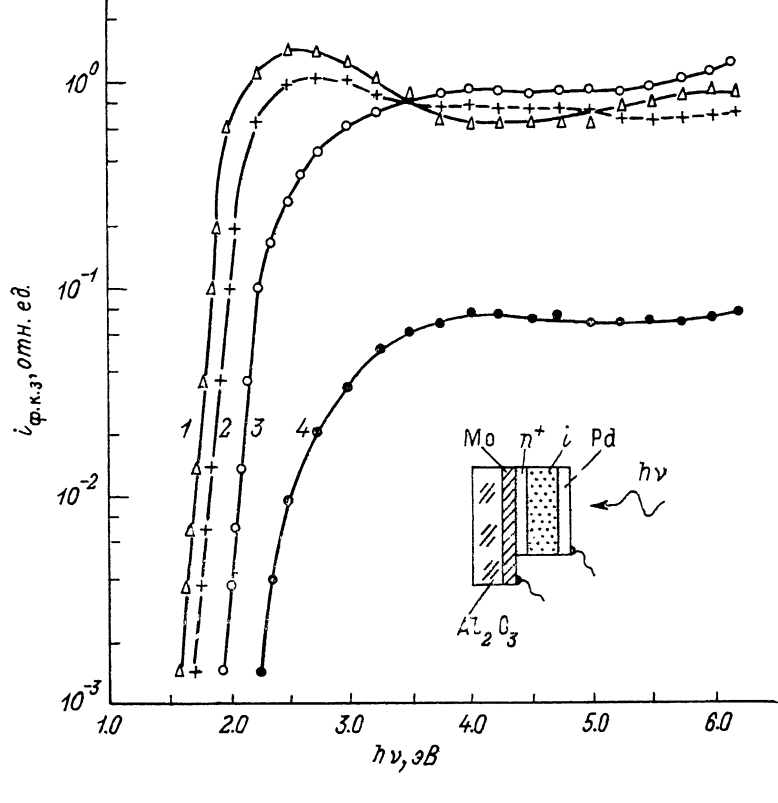


Рис. 1. Спектры фототока короткого замыкания $n-i-Pd$ -структур при $T=300$ К.

Фототок приведен к равному числу падающих фотонов. Толщина i -слоя d , Å: 1 — 3000, 2 — 1600, 3 — 700
4 — структура $n^+—i—a\text{-Si}_{0.8}\text{C}_{0.2}:\text{H}-\text{Pd}$ с $d=1500$ Å.

рис. 1 (кривые 1—3). На том же рисунке (кривая 4) приведена спектральная зависимость i_ϕ для структуры, когда i -слой был выполнен из $a\text{-Si}_{0.8}\text{C}_{0.2}:\text{H}$. Видно, что по мере уменьшения толщины i -слоя и его состава красная граница спектра фоточувствительности сдвигается в синюю область и наблюдается уменьшение фототока в области видимого света. В УФ диапазоне спектра ($h\nu > 3.6$ эВ) i_ϕ в зависимости от толщины i -слоя $a\text{-Si : H}$ носит более сложный характер. Так, спектральная зависимость i_ϕ в УФ области спектра свидетельствует о практически полном разделении электронно-дырочных пар внутренним полем барьера. Это может быть обусловлено следующим:

1) очень малой длиной свободного пробега (15—20 Å) горячих носителей в i -слое, что ведет к отсутствию потерь на вылет их надбарьерно в металл;

2) пренебрежимо малой ролью поверхностной рекомбинации на границе $M-a\text{-Si : H}$;

3) ударной ионизацией носителей заряда в УФ области ($h\nu > 3.6$ эВ).

С целью выяснения роли ударной ионизации носителей заряда нами были проведены исследования ФП на структурах $\text{Al}-a\text{-Si : H}-\text{Al}$ в широком спек-

тральном диапазоне. Спектральная зависимость стационарного фототока представлена на рис. 2. Спектр фототока имеет сложную форму; при увеличении энергии фотонов наблюдается резкий рост фототока, обусловленный ростом коэффициента поглощения $[\alpha(h\nu)]$ в области энергий фотонов 1.7–2.1 эВ, затем происходит некоторое уменьшение фототока в области энергий 2.2–3.6 эВ, а, начиная с $h\nu > 3.6$ эВ, фототок снова увеличивается вплоть до предельно достигнутой в эксперименте энергии $h\nu=6.3$ эВ. Аппроксимация зависимости $[i_\Phi(h\nu)/eN(1-R)]^{1/2}$ от $h\nu$ в области красной границы позволяет определить

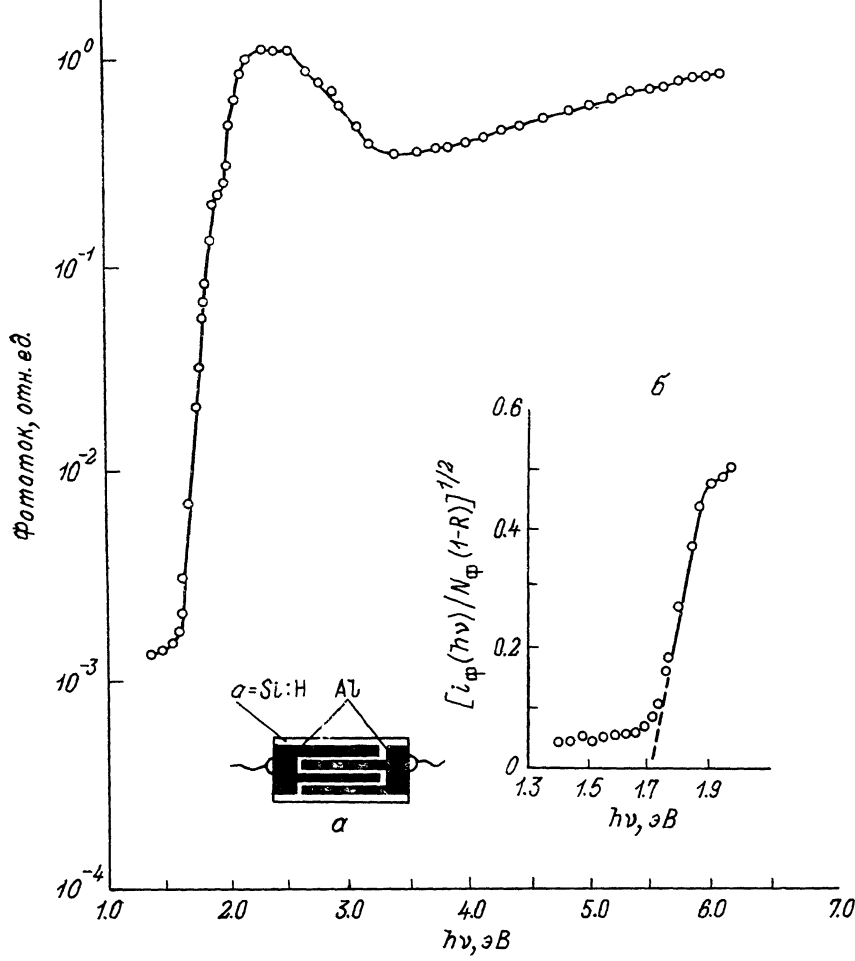


Рис. 2. Спектральная зависимость фототока структур Al—*a*-Si : H—Al при $T=300$ К и $d=10$ мкм.

На вставке — экстраполяция кривой $[i_\Phi(h\nu)/eN(1-R)]^{1/2}=0$, дающая величину $E_g=1.7$ эВ для *a*-Si : H.

ширину запрещенной зоны (на вставке к рис. 2) $E_g=1.7$ эВ, что хорошо согласуется с величиной, определенной по краю оптического поглощения согласно стандартной процедуре $(\alpha h\nu)^{1/2}=(h\nu-E_g)$ [10].

Квантовая эффективность внутреннего фотоэффекта, как известно, определяется выражением

$$\mu\tau\eta(h\nu) \approx [i_\Phi(h\nu)/eN(1-R(h\nu))] [1 - \exp(-\alpha(h\nu)d)],$$

где μ — подвижность носителей, τ — их время жизни, N — поток фотонов, $\alpha(h\nu)$ и $R(h\nu)$ — коэффициенты поглощения и отражения.

На рис. 3, а приведен результат расчета $\eta(h\nu)$ с учетом измеренных зависимостей $\alpha(h\nu)$ и $R(h\nu)$ (рис. 3, б) в широком спектральном интервале и при допущении, что $\mu\tau=\text{const}$. Как видно из рисунка, в области энергий фотонов $h\nu=1.7-3.0$ эВ квантовая эффективность постоянна, затем наблюдается некоторое уменьшение $\eta(h\nu)$, обусловленное влиянием поверхностной рекомбинации, а, начиная с энергии фотонов $h\nu \geq 3.6$ эВ, увеличивается, удваиваясь при

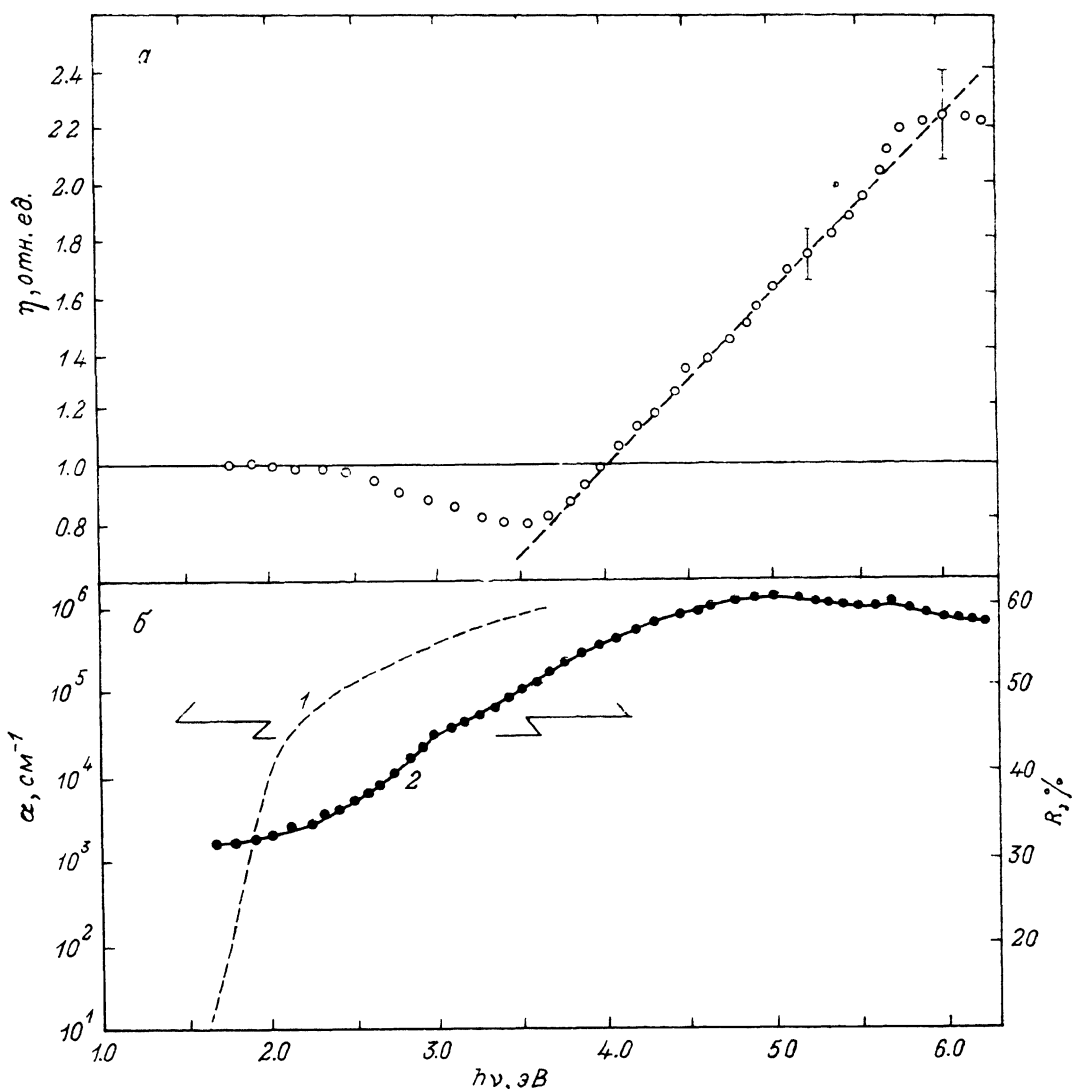


Рис. 3. Спектральная зависимость квантовой эффективности внутреннего фотоэффекта в a -Si : H (а).

1 — $\alpha(h\nu)$, 2 — $R(h\nu)$ (б) при $T=300$ К.

$h\nu \sim 6$ эВ. Скорость поверхностной рекомбинации можно изменять, варьируя технологическими параметрами осаждения пленок. Так, обработка пленок в атмосфере водорода приводит к ослаблению поверхностной рекомбинации.

Ход полученной спектральной зависимости $\eta(h\nu)$ в УФ диапазоне позволяет утверждать, что в a -Si : H имеет место процесс ударной ионизации носителей заряда и этот процесс имеет явно выраженный пороговый характер.

Как видно из рис. 3, а, пороговая энергия увеличения квантовой эффективности составляет $\varepsilon_c = 3.6$ эВ. Наличие порога увеличения $\eta(h\nu)$ означает, что при энергии возбуждающего света, равной или большей пороговой, фотоэлек-

трон (или фотодырка) приобретает кинетическую энергию, достаточную для ионизации еще одной электронно-дырочной пары.

Величина найденного порога ϵ_i в $a\text{-Si : H}$ удивительно хорошо совпадает с аналогичной величиной для кристаллического кремния [11]. Поскольку в аморфных полупроводниках правила отбора с учетом сохранения квазимпульса для дна зоны не работают, пороговая энергия ударной ионизации $h\nu$ (например, для зоны проводимости) должна определяться лишь с учетом сохранения энергии и быть меньше, чем в кристаллическом аналоге.

Тот факт, что пороги возрастания $\eta(h\nu)$ в $a\text{-Si : H}$ и в кристаллическом кремнии совпадают, говорит о том, что эти пороги определяются не ϵ_i , а порогами новых оптических переходов в оптическом поглощении, при которых фотоносители в обоих случаях сразу имеют энергию, превосходящую пороги ударной ионизации. Правда, для такого вывода надо допустить, что зонные структуры $a\text{-Si : H}$ и кристаллического кремния в области больших энергий совпадают.

Другой важной характеристикой процесса ударной ионизации является величина средней энергии образования электронно-дырочной пары Δ_i , определяемой по наклону зависимости $\eta(h\nu)$. Эта величина отражает конкуренцию между процессами ударной ионизации и другими процессами релаксации энергии горячих носителей (испускание фононов, межэлектронное рассеяние и т. д.). Определенная вблизи первого порога (по наклону пунктирной прямой на рис. 3, a) величина для $a\text{-Si : H}$ оказалась равной $\Delta_i = 2.4$ эВ, что заметно меньше аналогичной величины в кристаллическом кремнии $\Delta_i = 3.62$ эВ [11]. Эта разница может быть отнесена за счет более благоприятных условий для ударной ионизации в $a\text{-Si : H}$, о чём уже говорилось выше, а также в [12].

Следует отметить, что высокая фоточувствительность структур с барьером Шоттки в УФ области также определяется процессом ударной ионизации, но в этом случае этот процесс происходит в присутствии сильного внутреннего электрического поля (10^4 — 10^5 В/см²), что, вероятно, также дает вклад в уменьшение носителей заряда.

Таким образом показано, что:

а) на основе $a\text{-Si : H}$ могут быть изготовлены структуры с барьером Шоттки, работающие как эффективные фотоприемники в видимом и УФ области спектра, причем изменением толщины i -слоя и его состава достигается смещение красной границы фоточувствительности;

б) увеличение квантовой эффективности внутреннего фотоэффекта в $a\text{-Si : H}$ в УФ области обусловлено ударной ионизацией, имеющей пороговый характер при $\epsilon_i = 3.6$ эВ, и средняя энергия образования электронно-дырочной пары в процессе ударной ионизации составляет $\Delta_i = 2.4$ эВ.

Авторы выражают благодарность В. Е. Челнокову за интерес и поддержку в данной работе.

Список литературы

- [1] Беркелиев А., Гольдберг Ю. А., Мелебаев Д., Царенков Б. В. // ФТП. 1976. Т. 10. В. 8. С. 1532—1534.
- [2] Wilson A. D., Lyall H. // Appl. Opt. 1986. V. 24. N 25. P. 4530—39; P. 4540—46.
- [3] Горбенко Н. В., Косяченко Л. А., Махний В. П., Шейнкман М. К. // ЖПС. 1989. Т. 51. В. 2. С. 335—337.
- [4] Колдаев И. М., Лосев В. В., Орлов Б. М., Рухадзе Н. Д. // ФТП. 1986. Т. 20. В. 4. С. 730—732.
- [5] Колдаев И. М., Лосев В. В., Орлов Б. М. // Письма ЖТФ. 1984. Т. 10. В. 14. С. 853.
- [6] Веренчикова Р. Г., Санкин В. И. // Письма ЖТФ. 1988. Т. 14. В. 19. С. 1742—1746.
- [7] Атаев Ж., Васильев В. А., Волков А. С., Мездргина М. М., Теруков Е. И. // Матер. конф. по фотодиодам. явлениям в полупроводниках. Ташкент, 1989. С. 309—310.
- [8] Атаев Ж., Васильев В. А., Волков А. С., Мездргина М. М., Теруков Е. И. // Письма ЖТФ. 1990. Т. 16. В. 1. С. 47—50.
- [9] Ataev J., Chelnokov V. E., Terukov E. I., Vassilyev V. A., Volkov A. S. // Abs. Conf. Amorphous Silicon Technology-90. San Francisco, 1990.
- [10] Бонч-Бруевич В. Л., Звягин И. П. и др. Электронная теория неупорядоченных полупроводников. М., 1984. 384 с.
- [11] Christensen O. // J. Appl. Phys. 1976. V. 47. N 2. P. 689—695.
- [12] Атаев Ж., Васильев В. А., Волков А. С., Кумеков Е., Теруков Е. И., Шведков И. В. // Письма ЖТФ. 1991. Т. 17. В. 3. С. 81—85.